



UNIVERSITAT POLITÈCNICA DE CATALUNYA  
ESCOLA TÈCNICA SUPERIOR D'ENGINYERS  
DE CAMINS, CANALS I PORTS DE BARCELONA



---

ESTUDIO EXPERIMENTAL  
DEL COMPORTAMIENTO DEL HORMIGÓN  
CONFINADO SOMETIDO A COMPRESIÓN

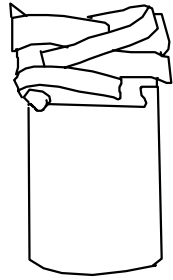
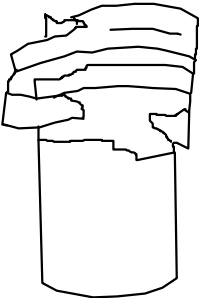
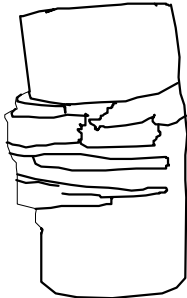
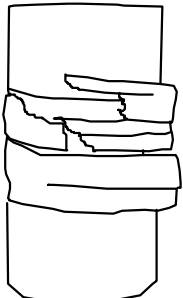
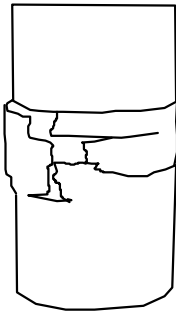
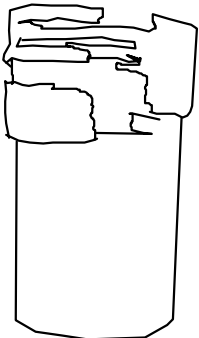
Tesis Doctoral de:  
Carlos Aire Untiveros

Dirigida por:  
Ravindra Gettu  
Joan Ramon Casas Rius

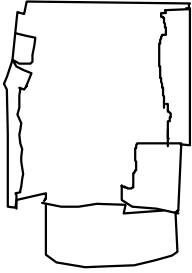
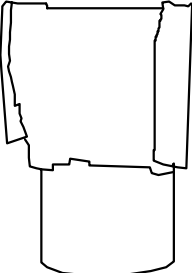
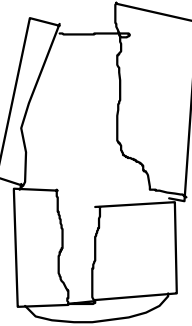
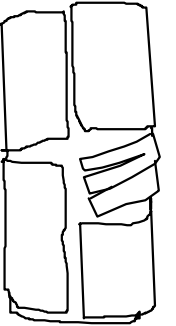
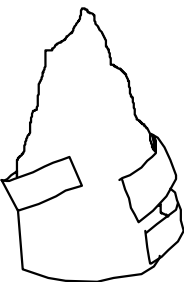
---

Barcelona, Septiembre 2002

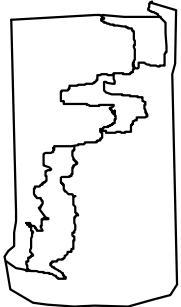
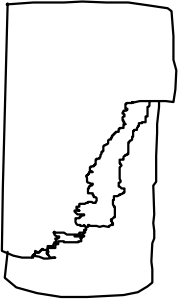
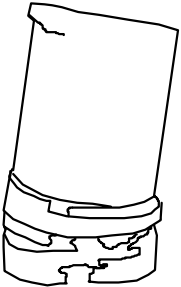
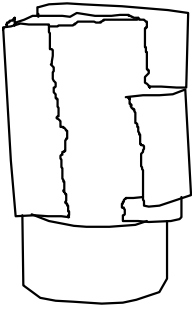
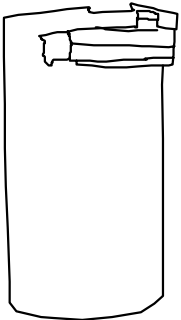
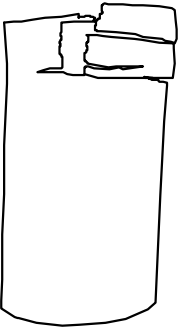
**Figura H.1** Modos de rotura del hormigón HF30 confinado con FRP de vidrio

Confinamiento	Probeta		Probeta	
1 capa				
3 capas				
6 capas				

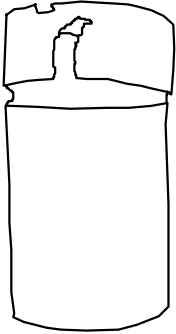
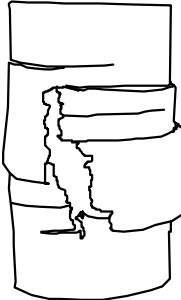
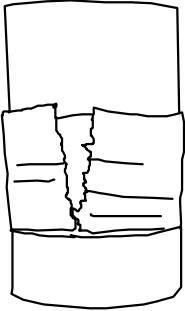
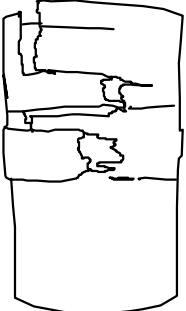
**Figura H.2** Modos de rotura del hormigón HF30 confinado con FRP de carbono

Confinamiento	Probeta		Probeta	
1 capa				
3 capas				
6 capas				
				

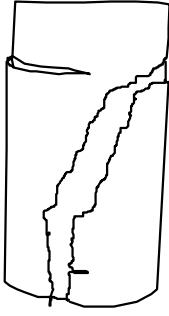
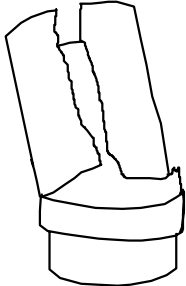
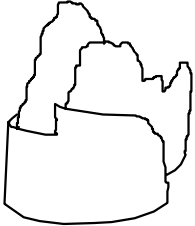
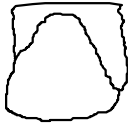
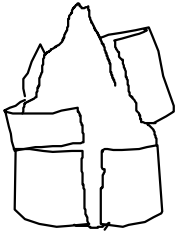
**Figura H.3** Modos de rotura del hormigón HF70 confinado con FRP de vidrio

Confinamiento	Probeta		Probeta	
1 capa				
3 capas				
6 capas				

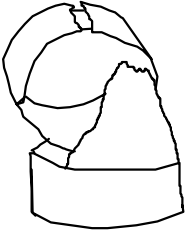
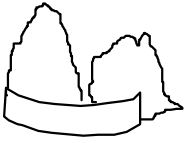
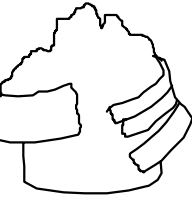
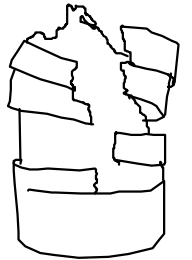
**Figura H.3** Modos de rotura del hormigón HF70 confinado con FRP de vidrio (cont.)

Confinamiento	Probeta		Probeta	
9 capas				
12 capas				

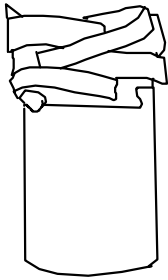
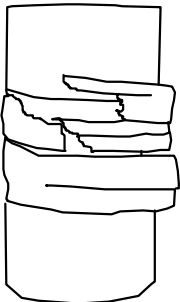
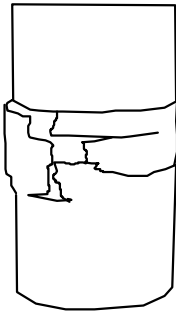
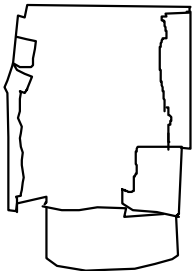
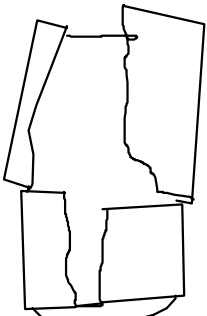
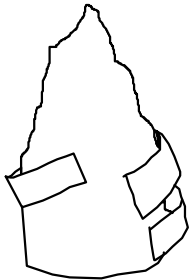
**Figura H.4** Modos de rotura del hormigón HF70 confinado con FRP de carbono

Confinamiento	Probeta		Probeta	
1 capa				
3 capas				
				
6 capas				
				

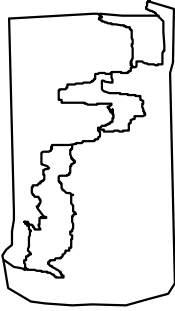
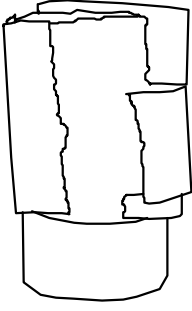
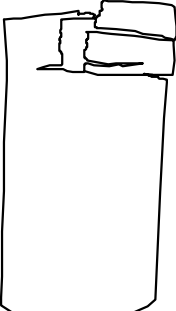
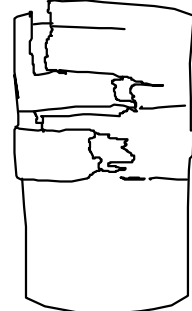
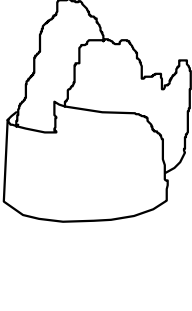
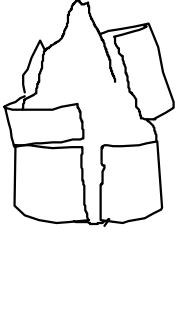
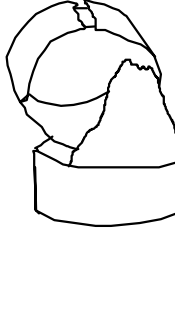
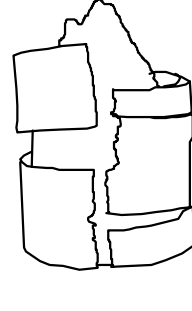
**Figura H.4** Modos de rotura del hormigón HF70 confinado con FRP de carbono (cont.)

Confinamiento	Probeta		Probeta	
9 capas				
				
12 capas				
				

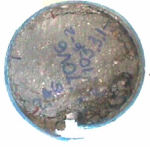
**Figura H.5** Esquemas de rotura de los hormigones bajo diferentes capas de FRP

Hormigón HF30 confinado con FRP de vidrio			
1 capa	3 capas	6 capas	Observaciones
 <p>HFV30-1-1</p>	 <p>HFV30-3-2</p>	 <p>HFV30-6-1</p>	<p>Rotura repentina y explosiva (leve).                      Rotura perpendicular a la fibra.                      Presencia de macrogrietas.                      La probeta permanece relativamente sólida después del ensayo.</p>
Hormigón HF30 confinado con FRP de carbono			
1 capa	3 capas	6 capas	Observaciones
 <p>HFC30-1-1</p>	 <p>HFC30-3-1</p>	 <p>HFC30-6-1</p>	<p>Rotura repentina y explosiva (severa).                      Rotura del FRP a todo lo largo de la probeta.</p>

**Figura H.5** Esquemas de rotura de los hormigones bajo diferentes capas de FRP (cont.)

Hormigón HF70 confinado con FRP de vidrio				
1 capa	3 capas	6 capas	9 capas	12 capas
				
HFV70-1-2	HFV70-3-2	HFV70-6-2	HFV70-9-2	HFV70-12-3
Hormigón HF70 confinado con FRP de carbono				
1 capa	3 capas	6 capas	9 capas	12 capas
				
HFC70-1-2	HFC70-3-3	HFC70-6-2	HFC70-9-1	HFC70-12-2

**Figura H.6** Esquemas de rotura de los hormigones bajo diferentes capas de FRP

Hormigón HF30 confinado con FRP de vidrio				
1 capa	3 capas	6 capas	9 capas	12 capas
 HFV30-1-1	 HFV30-3-2	 HFV30-6-1		
Hormigón HF30 confinado con FRP de carbono				
1 capa	3 capas	6 capas	9 capas	12 capas
 HFC30-1-1	 HFC30-3-1	Rotura total		
Hormigón HF70 confinado con FRP de vidrio				
1 capa	3 capas	6 capas	9 capas	12 capas
 HFV70-1-2	 HFV70-3-2	 HFV70-6-2	 HFV70-9-1	 HFV70-12-3
Hormigón HF70 confinado con FRP de carbono				
1 capa	3 capas	6 capas	9 capas	12 capas
 HFC70-1-2	Rotura total	Rotura total	Rotura total	Rotura total